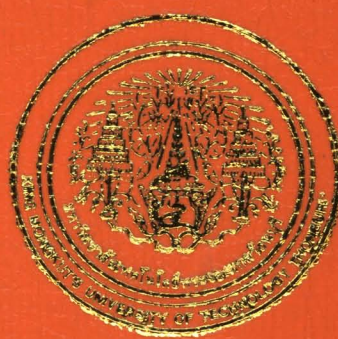




247087



คุณลักษณะการเดินเรียนด้านนักอุปถัมภ์จำนวนข้าราชการ

นายวิชิต พึ่งพาสโรจน์

วิทยานิพนธ์ชั้นสูง ด้านหนึ่งของการศึกษาทางเทคโนโลยี
ปริญญาดุษฎีบัณฑิต สาขาวิชาบริหารธุรกิจ

ภาควิชาบริหารธุรกิจ

มหาวิทยาลัยเพทบุรี จังหวัดกาญจนบุรี

พ.ศ. 2554



คุณลักษณะการกิจกรรมด้านข้อมูลข่าวสารที่มีคุณภาพ

นายวิชพงษ์ เทียมกระโทก

วิทยานิพนธ์นี้เป็นส่วนหนึ่งของการศึกษาตามหลักสูตร
ปริญญาวิศวกรรมศาสตรมหาบัณฑิต สาขาวิชาวิศวกรรมไฟฟ้า
คณะวิศวกรรมศาสตร์
มหาวิทยาลัยเทคโนโลยีพระจอมเกล้าธนบุรี
พ.ศ. 2554

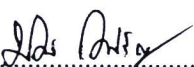
คุณลักษณะการเกิดเบรอดดาวน์ของจำนวนก้าวชนิดต่างๆ

นายวิชพงษ์ เทียมกระโทก วศ.บ. (วิศวกรรมไฟฟ้า)

วิทยานิพนธ์นี้เป็นส่วนหนึ่งของการศึกษาตามหลักสูตร
ปริญญาวิศวกรรมศาสตรมหาบัณฑิต สาขาวิชาชีวกรรมไฟฟ้า
คณะวิศวกรรมศาสตร์
มหาวิทยาลัยเทคโนโลยีพระจอมเกล้าธนบุรี

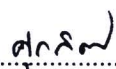
พ.ศ. 2554

คณะกรรมการสอบวิทยานิพนธ์



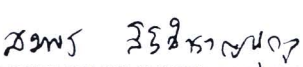
ประธานกรรมการสอบวิทยานิพนธ์

(ผศ.ดร. มงคล กองศรีรัตน์)



กรรมการและอาจารย์ที่ปรึกษาวิทยานิพนธ์

(ผศ.ดร. ศุภกิตติ์ โจตติโก)



กรรมการ

(ผศ.ดร. สมพร สิริสารณ์นกุล)

ลิขสิทธิ์ของมหาวิทยาลัยเทคโนโลยีพระจอมเกล้าธนบุรี

หัวข้อวิทยานิพนธ์	คุณลักษณะการเกิดเบรกดาวน์ของฉนวนก๊าซชนิดต่างๆ
หน่วยกิต	12
ผู้เขียน	นายวิชพงษ์ เทียมกระโทก
อาจารย์ที่ปรึกษา	ผศ.ดร.สุภกิตติ์ ใจดิโภ
หลักสูตร	วิศวกรรมศาสตรมหาบัณฑิต
สาขาวิชา	วิศวกรรมไฟฟ้า
ภาควิชา	วิศวกรรมไฟฟ้า
คณะ	วิศวกรรมศาสตร์
พ.ศ.	2554

บทคัดย่อ

247087

ปัจจุบันอุปกรณ์ในระบบ Gas Insulated Substation (GIS) เช่น เซอร์กิตเบรคเกอร์, สวิตช์กราวด์, บัสบาร์ และหม้อแปลงแรงดัน เป็นต้น ใช้ก๊าซ SF₆ เป็นฉนวน เพราะก๊าซ SF₆ มีความคงทนต่อแรงดันไฟฟ้าดี และสามารถดับอาร์กไนท์ได้ดี อย่างไรก็ตาม ก๊าซ SF₆ ทำให้เกิดสภาพระเบื่อนกระจายเป็นพิษ ต่อสิ่งแวดล้อม และมีราคาแพง ดังนั้น ในงานวิจัยนี้ นำเสนอการศึกษาค่าความคงทนต่อแรงดันไฟฟ้าของก๊าซ Ar, He, O₂, CO₂, Air, N₂ และสัดส่วนของก๊าซ SF₆ ที่ 75%, 50% และ 25% ในก๊าซผสม SF₆-N₂ เพื่อเปรียบเทียบกับก๊าซ SF₆ วิธีการศึกษาค่าความคงทนต่อแรงดันไฟฟ้าของฉนวนก๊าซจะทดสอบภายใต้แรงดันไฟฟ้ากระแสสลับ ความถี่ 50 Hz โดยใช้ Chamber ที่ออกแบบตามมาตรฐาน American Society for Testing and Materials (ASTM) D 2477-96 ทดสอบด้วยอิเล็กโทรดแบบปลายแหลม-ฐานะ ทรงกลม-ฐานะ และฐานะ-ฐานะ ซึ่งทำมาจากวัสดุสแตนเลส ระยะแกปที่ใช้ในการทดสอบคือ 5, 10, 15 และ 20 มิลลิเมตร ที่ความดันก๊าซ 1, 2 และ 3 บาร์ จากผลการทดสอบพบว่า ค่าความคงทนต่อแรงดันไฟฟ้าของ Air กับ N₂ มีค่าความคงทนต่อแรงดันไฟฟ้าใกล้เคียงกันที่ระยะแกปและความดันเดียวกัน และก๊าซที่มีความหนาแน่นสูงจะมีค่าความคงทนต่อแรงดันไฟฟ้าสูงกว่า ก๊าซที่มีความหนาแน่นต่ำ

คำสำคัญ : ก๊าซ / ฉนวน / แรงดันเบรกดาวน์ / ความคงทนต่อแรงดันไฟฟ้า

Thesis Title Breakdown Characteristics of Insulated Gases
 Thesis Credits 12
 Candidate Mr. Witchapong Tiamkatok
 Thesis Advisor Asst. Prof. Dr. Supakit Chotigo
 Program Master of Engineering
 Field of Study Electrical Engineering
 Department Electrical Engineering
 Faculty Engincering
 B.E. 2554

Abstract

247087

At present, equipment used in Gas Insulated Substation (GIS) such as circuit breakers, ground switches, busbars and transformers use SF₆ as their insulation because of its better electrical withstand and arc quenching. However, SF₆ has high cost. Furthermore, it causes green house effect and poisonous environment. In this research, the withstand voltage of Ar, He, O₂, CO₂, Air, N₂ and the mixtures of SF₆-N₂ containing 75%, 50% and 25% of SF₆ was studied and compared with that of pure SF₆. The withstand voltage of each gas under 50 Hz AC voltage was studied using a chamber designed according to American Society for Testing and Materials (ASTM) D 2477-96 which consists of rod-plane, sphere-plane and plane-plane gap made of stainless steel. Gap distances in this experiment were 5, 10, 15 and 20 mm. while the gas pressures were controlled at 1, 2 and 3 bars. The results showed that Air and N₂ had similar withstand voltage at the same gap distance and pressure. Furthermore, gas with a higher density had a higher electrical withstand voltage than that of the gas with lower density.

Keywords : Gases / Insulated / Breakdown Voltage / Dielectric Strengths

กิตติกรรมประกาศ

ในการขัดทำวิทยานิพนธ์ฉบับนี้ประสบผลสำเร็จไปได้ด้วยดี เมื่องจากได้รับคำปรึกษา ความช่วยเหลือ และคำแนะนำที่มีคุณค่าอย่างยิ่งต่องานวิจัยนี้ ข้าพเจ้าขอขอบพระคุณ พศ.ดร.ศุภกิตต์ ใจติโภ อาจารย์ที่ปรึกษาวิทยานิพนธ์ที่ให้แนวทางศึกษาวิจัย วิธีการแก้ไขปัญหาจนวิทยานิพนธ์นี้เสร็จสมบูรณ์

ขอขอบคุณ คณะวิทยาศาสตร์ ภาควิชาเคมี มหาวิทยาลัยเทคโนโลยีพระจอมเกล้าธนบุรีที่ให้ความอนุเคราะห์ก้าชในโครงการ ออกแบบ ทดลอง ประเมิน อาจารย์ก่อน สำหรับนำมาใช้ในการทดสอบ ขอขอบคุณ คุณเพ็ญพิมล เต็กชื่น และคุณนันรัตน์ ลิ่มพาณิชที่ให้ความช่วยเหลือในการอัดก้าช และให้ข้อแนะนำด้านเป็นประโยชน์แก่งานวิจัย

ขอขอบคุณ คณะวิทยาศาสตร์ ภาควิชาจุลชีววิทยา มหาวิทยาลัยเทคโนโลยีพระจอมเกล้าธนบุรีที่ให้ความอนุเคราะห์ก้าชการ์บอนไดออกไซด์ สำหรับนำมาใช้ในการทดสอบ ขอขอบคุณอาจารย์องอาจ วัฒนชัยยิ่งยง ที่ให้ความช่วยเหลือในการอัดก้าช

ขอขอบคุณ กองฝ่ายบำรุงรักษาไฟฟ้า การไฟฟ้าฝ่ายผลิตบางกรวย ที่ให้ความอนุเคราะห์ก้าช SF₆ สำหรับนำมาใช้ในการทดสอบ

ขอขอบคุณคณาจารย์ เจ้าหน้าที่ภาควิชาวิศวกรรมไฟฟ้า คณะวิศวกรรมศาสตร์ เจ้าหน้าที่สำนักหอสมุด มหาวิทยาลัยเทคโนโลยีพระจอมเกล้าธนบุรี ทุกท่านที่ให้ความสะดวกในการทำงาน วิจัย ทั้งทางด้านเบิกจ่ายงบประมาณ เครื่องมือ-อุปกรณ์การทดสอบ และคืนค่าว่าหาข้อมูล ขอขอบคุณ สำหรับการช่วยเหลือ และการสนับสนุนต่างๆ ในระหว่างการวิจัยจากนิสิต เพื่อนๆ ที่น่องในห้องปฏิบัติการไฟฟ้าแรงสูงภาควิชาวิศวกรรมไฟฟ้า คณะวิศวกรรมศาสตร์ มหาวิทยาลัยเทคโนโลยีพระจอมเกล้าธนบุรีทุกท่าน

สุดท้ายนี้ ข้าพเจ้าขอขอบคุณบิดา มารดา และครอบครัวที่สนับสนุน ให้โอกาส และความปรารถนาดี แก่ข้าพเจ้าเสมอมา

สารบัญ

หน้า

บทคัดย่อภาษาไทย	๙
บทคัดย่อภาษาอังกฤษ	๑
กิตติกรรมประกาศ	๔
สารบัญ	๕
รายการตาราง*	๗
รายการรูปประกอบ	๘
รายการสัญลักษณ์	๙
ประมวลศัพท์และคำย่อ	๑๐

บทที่

1. บทนำ	๑
1.1 ที่มาและเป้าหมายของงานวิจัย	๑
1.2 ผลงานวิจัยที่เกี่ยวข้อง	๒
1.3 วัตถุประสงค์ของงานวิจัย	๘
1.4 ขอบเขตของงานวิจัย	๘
1.5 ขั้นตอนและวิธีการดำเนินงานวิจัย	๙
1.6 ประโยชน์ที่คาดว่าจะได้รับ	๙
2. ทฤษฎีที่เกี่ยวข้อง	๑๐
2.1 ลักษณะสมบัติธรรมชาติของก๊าซ	๑๐
2.2 การเกิดเบรกดาวน์ในชั้นก๊าซ	๑๒
2.3 ไอօโอนในชั้นและการปล่อยอิเล็กตรอน	๑๒
2.4 กลไกเบรกดาวน์ในก๊าซ (Mechanisms breakdown)	๑๗
2.5 ลักษณะรูปแบบสนามไฟฟ้า (Electric field configuration)	๒๓

2.6 ความน่าจะเป็นในการเบรกดาวน์	28
2.7 วิธีการทดสอบจ่ายแรงดันต่อเนื่อง (Successive discharge test)	28
2.8 กฎความคันย้อยของคอลตัน	29
2.9 ก๊าซผสม SF ₆ -N ₂	30
2.10 การวัดแรงดันสูงด้วยโวลเตจดิไวเดอร์	31
2.11 มาตรฐาน American Society for Testing and Materials (ASTM) D 2477-96	33
3. ขั้นตอนและวิธีการดำเนินงาน	35
3.1 ชนวนก๊าซที่ใช้ในการทดสอบ	35
3.2 ชุดทดสอบ	36
3.3 วงจรที่ใช้ในการทดสอบ	38
3.4 เงื่อนไขในการทดสอบ	39
3.5 ขั้นตอนในการทดสอบ	40
4. ผลการทดสอบและวิเคราะห์ผล	43
4.1 รูปคลื่นแรงดันที่ใช้ในการทดสอบ	43
4.2 ผลการทดสอบค่าความคงทนต่อแรงดันไฟฟ้าของชนวนก๊าซชนิดต่างๆ	44
4.3 ผลการเปรียบเทียบค่าความคงทนต่อแรงดันไฟฟ้าของชนวนก๊าซชนิดต่างๆ	59
4.4 ผลการทดสอบค่าความคงทนต่อแรงดันไฟฟ้ากรณีสักส่วนของก๊าซ SF ₆ ในก๊าซผสม SF ₆ -N ₂	67
4.5 ผลการเปรียบเทียบผลการทดสอบค่าความคงทนต่อแรงดันไฟฟ้าของชนวนก๊าซ อิเล็กโทรดแบบปลายแหลม-ระนาบ ทรงกลม-ระนาบ และระนาบ-ระนาบ ที่ความดัน 1, 2 และ 3 บาร์ ระยะgap 5, 10, 15 และ 20 มิลลิเมตร	73
4.6 การเปรียบเทียบรูปคลื่นแรงดันไฟฟ้ากระแสสลับเมื่อเกิดเบรกดาวน์ในชนวนก๊าซชนิดต่างๆ	94
5. สรุปผลการทดสอบและข้อเสนอแนะ	105
5.1 สรุปผลการทดสอบ	105

5.2 ข้อเสนอแนะ	106
เอกสารอ้างอิง	107
ภาคผนวก	111
ก การเผยแพร่ผลงานวิจัย	111
ข ค่าแรงดันเบรกดาวน์ และข้อมูลทางสถิติของค่าแรงดันเบรกดาวน์ของชั้นวนก้าช อิเล็กโทรดแบบปลายแหลม-ระนาบ	120
ค ค่าแรงดันเบรกดาวน์ และข้อมูลทางสถิติของค่าแรงดันเบรกดาวน์ของชั้นวนก้าช อิเล็กโทรดแบบทรงกลม-ระนาบ	137
ง ค่าแรงดันเบรกดาวน์ และข้อมูลทางสถิติของค่าแรงดันเบรกดาวน์ของชั้นวนก้าช อิเล็กโทรดแบบบรรนำบ-ระนาบ	154
จ แบบชุดทดสอบเบรกดาวน์	171
ฉ แบบอิเล็กโทรดแรงสูง และอิเล็กโทรดกราวด์	173
ประวัติผู้วิจัย	175

รายการตาราง

ตาราง	หน้า
1.1 คุณสมบัติของก๊าซ	4
2.1 คุณสมบัติของก๊าชชนิดต่างๆที่ใช้ในการทดสอบ	10
2.2 ค่าคงตัว A และ B ของก๊าชชนิดต่างๆ	14
2.3 ค่าเวอร์ฟิงก์ชันการทำงานของชาตุบางชนิด	16
3.1 ชนิดของก๊าซ ค่าความดัน ระยะแกป และอิเล็กโตรดต่างๆที่ใช้ในการทดสอบ	39
3.2 สัดส่วนของก๊าซ SF_6 และ N_2 ในก๊าชผสม SF_6-N_2 ที่ความดัน 3 บาร์ ระยะแกป และอิเล็กโตรดต่างๆที่ใช้ในการทดสอบ	39
4.1 แสดงราคาของก๊าชชนิดต่างๆ	72
ข.1 ค่าแรงดันเบรกดาวน์ของก๊าซ He อิเล็กโตรดแบบปลายแหลม-ะนานา	121
ข.2 ค่าแรงดันเบรกดาวน์ของก๊าซ Ar อิเล็กโตรดแบบปลายแหลม-ะนานา	122
ข.3 ค่าแรงดันเบรกดาวน์ของก๊าซ CO_2 อิเล็กโตรดแบบปลายแหลม-ะนานา	123
ข.4 ค่าแรงดันเบรกดาวน์ของก๊าซ O_2 อิเล็กโตรดแบบปลายแหลม-ะนานา	124
ข.5 ค่าแรงดันเบรกดาวน์ของก๊าซ N_2 อิเล็กโตรดแบบปลายแหลม-ะนานา	125
ข.6 ค่าแรงดันเบรกดาวน์ของ Air อิเล็กโตรดแบบปลายแหลม-ะนานา	126
ข.7 ค่าแรงดันเบรกดาวน์ของก๊าซ SF_6 อิเล็กโตรดแบบปลายแหลม-ะนานา	127
ข.8 ค่าแรงดันเบรกดาวน์ของสัดส่วนก๊าซ SF_6 ที่ 25%, 50% และ 75% ที่ความดัน 3 บาร์ ในก๊าชผสม SF_6-N_2 อิเล็กโตรดแบบปลายแหลม-ะนานา	128
ข.9 ข้อมูลทางสถิติค่าแรงดันเบรกดาวน์ของก๊าซ He อิเล็กโตรดแบบปลายแหลม-ะนานา	129
ข.10 ข้อมูลทางสถิติค่าแรงดันเบรกดาวน์ของก๊าซ Ar อิเล็กโตรดแบบปลายแหลม-ะนานา	130
ข.11 ข้อมูลทางสถิติค่าแรงดันเบรกดาวน์ของก๊าซ CO_2 อิเล็กโตรดแบบปลายแหลม-ะนานา	131
ข.12 ข้อมูลทางสถิติค่าแรงดันเบรกดาวน์ของก๊าซ O_2 อิเล็กโตรดแบบปลายแหลม-ะนานา	132
ข.13 ข้อมูลทางสถิติค่าแรงดันเบรกดาวน์ของก๊าซ N_2 อิเล็กโตรดแบบปลายแหลม-ะนานา	133
ข.14 ข้อมูลทางสถิติค่าแรงดันเบรกดาวน์ของ Air อิเล็กโตรดแบบปลายแหลม-ะนานา	134
ข.15 ข้อมูลทางสถิติค่าแรงดันเบรกดาวน์ของก๊าซ SF_6 อิเล็กโตรดแบบปลายแหลม-ะนานา	135

ในก๊าซผสม SF_6-N_2 อิเล็กโทรดแบบระนาบ-ระนาบ

ง.9	ข้อมูลทางสถิติค่าแรงดันเบรกดาวน์ของก๊าช He อิเล็กโทรดแบบระนาบ-ระนาบ	163
ง.10	ข้อมูลทางสถิติค่าแรงดันเบรกดาวน์ของก๊าช Ar อิเล็กโทรดแบบระนาบ-ระนาบ	164
ง.11	ข้อมูลทางสถิติค่าแรงดันเบรกดาวน์ของก๊าช CO_2 อิเล็กโทรดแบบระนาบ-ระนาบ	165
ง.12	ข้อมูลทางสถิติค่าแรงดันเบรกดาวน์ของก๊าช O_2 อิเล็กโทรดแบบระนาบ-ระนาบ	166
ง.13	ข้อมูลทางสถิติค่าแรงดันเบรกดาวน์ของก๊าช N_2 อิเล็กโทรดแบบระนาบ-ระนาบ	167
ง.14	ข้อมูลทางสถิติค่าแรงดันเบรกดาวน์ของ Air อิเล็กโทรดแบบระนาบ-ระนาบ	168
ง.15	ข้อมูลทางสถิติค่าแรงดันเบรกดาวน์ของก๊าช SF_6 อิเล็กโทรดแบบระนาบ-ระนาบ	169
ง.16	ข้อมูลทุนสถิติค่าแรงดันเบรกดาวน์ของสักดั่ว ก๊าช SF_6 ที่ 25%, 50% และ 75% ที่ความดัน 3 บาร์ ในก๊าซผสม SF_6-N_2 อิเล็กโทรดแบบระนาบ-ระนาบ	170

รายการรูปประกอบ

รูป	หน้า
1.1 แสดงค่าแรงดันเบรกดาวน์เบรียบเทียบกับความดัน ระยะแกป 5 มิลลิเมตร	2
1.2 ชุดทดสอบ วงจรและอุปกรณ์ในการทดสอบ	3
1.3 เกจวัดความดัน	4
1.4 ถังเหล็กกล้าปิดหมุด	5
1.5 อิเล็กโตชุดที่ใช้ในการทดสอบ	5
1.6 ค่าความคงทนต่อสนา�ไฟฟ้าเบรียบเทียบกับความดันก๊าซ	6
1.7 ค่าแรงดันเบรกดาวน์เบรียบเทียบกับอัตราส่วนของก๊าซผสม ที่ความดัน 0.1 MPa	6
1.8 แผนภาพชุดการทดลอง	7
1.9 GIS 25.8 kV และโครงสร้างอิเล็กโตรด	7
1.10 ค่าแรงดันเบรกดาวน์ของก๊าซ $SF_6 - CF_4$ ที่ความดัน 0.1 ถึง 0.4 MPa ที่ระยะแกป 1 mm. ภายในได้แรงดันไฟฟ้ากระแสสลับ	8
2.1 กราฟแสดงค่าความสัมพันธ์ระหว่าง α / p และ E/p ของก๊าซ N_2 และ H_2	14
2.2 รูปการเกิดอิเล็กโตรอนในสนา�ไฟฟ้าสม่ำเสมอ	15
2.3 แสดงการเกิดเบรกดาวน์ของก๊าซ	17
2.4 กราฟความสัมพันธ์ของ Townsend ($ad=k$) และฟังก์ชัน $\alpha / p = f(E/p)$	20
2.5 กราฟความสัมพันธ์ระหว่างแรงดันเบรกดาวน์กับค่า pd หรือเรียกว่า Paschen's curve	20
2.6 การเกิดไฟโตกไออ้อนเชชัน	22
2.7 การเกิดสตรีมเมอร์	23
2.8 อิเล็กโตรดที่มีลักษณะสนามไฟฟ้าแบบต่างๆ	24
2.9 แสดงเส้นศักย์เท่าและเส้นสนามไฟฟ้า	26
2.10 เปรียบเทียบสนามไฟฟ้าของอิเล็กโตรดลักษณะต่างๆ	28
2.11 ระบบวัดแรงดันสูงไฟฟ้ากระแสสลับ	31
2.12 ระบบวัดแรงดันสูงด้วยไอลเตจดิไวเดอร์	32
2.13 ตัวเก็บประจุภาคแรงสูงแบบใช้ตัวเก็บประจุย่อยต่ออันดับ	33

2.14	ชุดทดสอบความมาตรฐาน ASTM D 2477-96	34
3.1	ปั๊มลมสำหรับใช้ทดสอบอากาศ	35
3.2	ท่อแก๊สสำหรับนำแก๊สมาทดสอบ	36
3.3	ชุดทดสอบ (Chamber)	36
3.4	อิเล็กโตรด 1. ปลายแหลม 2. ทรงกลม และ 3. ระนาบ	37
3.5	ไนโตรมิเตอร์	37
3.6	วงรีสมูลท์ที่ใช้ในการทดสอบ	38
3.7	ภาพถ่ายวงจรที่ใช้ในการทดสอบจริง	38
3.8	ปั๊มสูญญากาศ	40
3.9	เร็กเก็ตเตอร์	41
3.10	เกจวัดความดันแบบดิจิตอล	41
4.1	รูปคลื่นแรงดันไฟฟ้ากระแสสลับที่ใช้ทดสอบค่าความคงทนต่อแรงดันไฟฟ้าของชนวนแก๊ส	43
4.2	รูปคลื่นแรงดันไฟฟ้ากระแสสลับเมื่อเกิดเบรกดาวน์ในชนวนแก๊ส	44
4.3	ค่าความคงทนต่อแรงดันไฟฟ้าของแก๊ส He อิเล็กโตรดแบบปลายแหลม-ระนาบ	44
4.4	ค่าความคงทนต่อแรงดันไฟฟ้าของแก๊ส Ar อิเล็กโตรดแบบปลายแหลม-ระนาบ	45
4.5	ค่าความคงทนต่อแรงดันไฟฟ้าของแก๊ส CO ₂ อิเล็กโตรดแบบปลายแหลม-ระนาบ	46
4.6	ค่าความคงทนต่อแรงดันไฟฟ้าของแก๊ส O ₂ อิเล็กโตรดแบบปลายแหลม-ระนาบ	46
4.7	ค่าความคงทนต่อแรงดันไฟฟ้าของแก๊ส N ₂ อิเล็กโตรดแบบปลายแหลม-ระนาบ	47
4.8	ค่าความคงทนต่อแรงดันไฟฟ้าของ Air อิเล็กโตรดแบบปลายแหลม-ระนาบ	47
4.9	ค่าความคงทนต่อแรงดันไฟฟ้าของแก๊ส SF ₆ อิเล็กโตรดแบบปลายแหลม-ระนาบ	48
4.10	ค่าความคงทนต่อแรงดันไฟฟ้าของแก๊ส He อิเล็กโตรดแบบทรงกลม-ระนาบ	49
4.11	ค่าความคงทนต่อแรงดันไฟฟ้าของแก๊ส Ar อิเล็กโตรดแบบทรงกลม-ระนาบ	50
4.12	ค่าความคงทนต่อแรงดันไฟฟ้าของแก๊ส CO ₂ อิเล็กโตรดแบบทรงกลม-ระนาบ	50
4.13	ค่าความคงทนต่อแรงดันไฟฟ้าของแก๊ส O ₂ อิเล็กโตรดแบบทรงกลม-ระนาบ	51
4.14	ค่าความคงทนต่อแรงดันไฟฟ้าของแก๊ส N ₂ อิเล็กโตรดแบบทรงกลม-ระนาบ	52
4.15	ค่าความคงทนต่อแรงดันไฟฟ้าของ Air อิเล็กโตรดแบบทรงกลม-ระนาบ	52
4.16	ค่าความคงทนต่อแรงดันไฟฟ้าของแก๊ส SF ₆ อิเล็กโตรดแบบทรงกลม-ระนาบ	53

ที่ระยะแกป 15 มิลลิเมตร อิเล็กโตรดแบบระนาบ-ระนาบ	
4.35 ค่าความคงทนต่อแรงดันไฟฟ้าของก๊าซ He, Ar, CO ₂ , O ₂ , N ₂ , Air และ SF ₆	66
ที่ระยะแกป 20 มิลลิเมตร อิเล็กโตรดแบบระนาบ-ระนาบ	
4.36 ค่าความคงทนต่อแรงดันไฟฟ้าของก๊าซ SF ₆ ที่สัดส่วน 0%, 25%, 50%, 75% และ 100%	67
ที่ความดัน 3 บาร์ ในก๊าชผสม SF ₆ -N ₂ อิเล็กโตรดแบบปลายแหลม-ระนาบ	
4.37 ค่าความคงทนต่อแรงดันไฟฟ้าของก๊าซ SF ₆ ที่สัดส่วน 25%, 50% และ 75% ที่ความดัน 3 บาร์ ในก๊าชผสม SF ₆ -N ₂ อิเล็กโตรดแบบปลายแหลม-ระนาบ	67
4.38 ค่าความคงทนต่อแรงดันไฟฟ้าของก๊าซ SF ₆ ที่สัดส่วน 0%, 25%, 50%, 75% และ 100%	68
ที่ความดัน 3 บาร์ ในก๊าชผสม SF ₆ -N ₂ อิเล็กโตรดแบบทรงกลม-ระนาบ	
4.39 ค่าความคงทนต่อแรงดันไฟฟ้าของก๊าซ SF ₆ ที่สัดส่วน 25%, 50% และ 75% ที่ความดัน 3 บาร์ ในก๊าชผสม SF ₆ -N ₂ อิเล็กโตรดแบบทรงกลม-ระนาบ	69
4.40 ค่าความคงทนต่อแรงดันไฟฟ้าของก๊าซ SF ₆ ที่สัดส่วน 0%, 25%, 50%, 75% และ 100%	70
ที่ความดัน 3 บาร์ ในก๊าชผสม SF ₆ -N ₂ อิเล็กโตรดแบบระนาบ-ระนาบ	
4.41 ค่าความคงทนต่อแรงดันไฟฟ้าของก๊าซ SF ₆ ที่สัดส่วน 25%, 50% และ 75% ที่ความดัน 3 บาร์ ในก๊าชผสม SF ₆ -N ₂ อิเล็กโตรดแบบระบนาบ-ระบนาบ	70
4.42 ค่าแรงดันเบรกดาวน์ของก๊าซ SF ₆ , N ₂ และสัดส่วนของก๊าซ SF ₆ ที่ 20%, 10% และ 1%	72
ที่ความดัน 3 บาร์ ในก๊าชผสม SF ₆ +N ₂	
4.43 ค่าความคงทนต่อแรงดันไฟฟ้าของก๊าซ He อิเล็กโตรดแบบต่างๆที่ความดัน 1 บาร์	73
4.44 ค่าความคงทนต่อแรงดันไฟฟ้าของก๊าซ He อิเล็กโตรดแบบต่างๆที่ความดัน 2 บาร์	74
4.45 ค่าความคงทนต่อแรงดันไฟฟ้าของก๊าซ He อิเล็กโตรดแบบต่างๆที่ความดัน 3 บาร์	75
4.46 ค่าความคงทนต่อแรงดันไฟฟ้าของก๊าซ Ar อิเล็กโตรดแบบต่างๆที่ความดัน 1 บาร์	76
4.47 ค่าความคงทนต่อแรงดันไฟฟ้าของก๊าซ Ar อิเล็กโตรดแบบต่างๆที่ความดัน 2 บาร์	77
4.48 ค่าความคงทนต่อแรงดันไฟฟ้าของก๊าซ Ar อิเล็กโตรดแบบต่างๆที่ความดัน 3 บาร์	78
4.49 ค่าความคงทนต่อแรงดันไฟฟ้าของก๊าซ CO ₂ อิเล็กโตรดแบบต่างๆที่ความดัน 1 บาร์	79
4.50 ค่าความคงทนต่อแรงดันไฟฟ้าของก๊าซ CO ₂ อิเล็กโตรดแบบต่างๆที่ความดัน 2 บาร์	80
4.51 ค่าความคงทนต่อแรงดันไฟฟ้าของก๊าซ CO ₂ อิเล็กโตรดแบบต่างๆที่ความดัน 3 บาร์	81
4.52 ค่าความคงทนต่อแรงดันไฟฟ้าของก๊าซ O ₂ อิเล็กโตรดแบบต่างๆที่ความดัน 1 บาร์	82
4.53 ค่าความคงทนต่อแรงดันไฟฟ้าของก๊าซ O ₂ อิเล็กโตรดแบบต่างๆที่ความดัน 2 บาร์	83

4.87 รูปคลื่นแรงดันไฟฟ้ากระแสสลับเมื่อเกิดเบรกดาวน์ในชั้นก๊าซ SF ₆ -N ₂ อิเล็กโตรด	103
แบบบรรนำบ-บรรนำบ	
๗.1 แบบชุดทดสอบที่ใช้ในงานวิจัย	172
๙.1 อิเล็กโตรดแรงสูง (1, 2 และ4) และอิเล็กโตรดกราวด์ (3) ทำมาจากวัสดุแสตนเลส	174

รายการสัญลักษณ์

A	=	พื้นที่หน้าตัด
C	=	ตัวเก็บประจุ
d	=	ระยะห่างระหว่างอิเล็กโทรด (cm)
E	=	ความเครียดสนามไฟฟ้า ฉุดได้ระหว่างอิเล็กโทรด (V/cm)
E_{av}	=	ความเครียดสนามไฟฟ้าเฉลี่ย
E_b	=	ความเครียดสนามไฟฟ้าที่ทำให้เกิดเบรกดาวน์
E_i	=	ความเครียดสนามไฟฟ้าเริ่มเกิด (V/cm)
E_{max}	=	ความเครียดสนามไฟฟ้าสูงสุด
h	=	ค่าคงตัวของ Plank ($6.6257 \times 10^{-34} \text{ J} \cdot \text{s}$)
K	=	Boltzman's gas constant เท่ากับ $R / N_0 = 1.3804 \times 10^{-23} \text{ J/K}$
M	=	มวลโมเลกุล
N	=	จำนวนโมเลกุลใน 1 cm^3 เท่ากับ N_0 / V_0
n	=	จำนวนมวลของก๊าซ หน่วยเป็น (g/mole)
N_0	=	จำนวนโมเลกุลในหนึ่งกรัม โมล
p	=	ความดันก๊าซ
PA	=	ความดันย่อของก๊าซ A (bar)
PB	=	ความดันย่อของก๊าซ B (bar)
Pt	=	ความดันรวมของก๊าซ (bar)
R	=	ค่าคงตัวของก๊าซทั่วไป เท่ากับ 8.3143 J/K mole
T	=	อุณหภูมิสมบูรณ์ (K)
T_b	=	ชุดทดลองเหลว (K)
U	=	แรงดันที่ป้อนระหว่างอิเล็กโทรด (V)
U_b	=	แรงดันที่ทำให้เกิดเบรกดาวน์ด้วยสนามไฟฟ้าสามัญ (V)
U_i	=	แรงดันไฟฟ้าที่ป้อนขณะเริ่มเกิดโคลโโน่ (Corona Inception Voltage) (V)
$U_{50\%}$	=	แรงดันเบรกดาวน์ 50%
V	=	ปริมาตรของก๊าซ
V_0	=	ปริมาตรกรัม โมลของก๊าซ
W_i	=	ค่าพลังงานไอօอิไนเซ็น
Z_{hv}	=	อิมพีเดนซ์ภาคแรงสูง
Z_{lv}	=	อิมพีเดนซ์ภาคแรงต่ำ

- α = สัมประสิทธิ์การชนแตกตัวด้วยอิเล็กตรอนชนกับโมเลกุล
- β = สัมประสิทธิ์การชนของไอออน
- η^* = แฟกเตอร์สนามไฟฟ้า (Field Utilization Factor)
- μ = สภาพการเคลื่อนที่ (Mobility) ของอนุภาค
- λ = ระยะอิสระเฉลี่ย

ประมวลศัพท์และคำย่อ

Ag	=	Silver
Air	=	อากาศ
Al	=	Aluminium
Ar	=	Argon
ASTM	=	American Society for Testing and Materials
CF ₄	=	Carbon Tetrafluoride or Tetrafluoromethane
cm	=	Centimeter
CO ₂	=	Carbon Dioxide
Cu	=	Copper
eV	=	Electronvolts
Fe	=	Iron
FS	=	Full Scale
GIS	=	Gas Insulated Switchgear
GWP	=	Global Warming Potential
g/m ³	=	Gram Per Cubic meter
He	=	Helium
HP grade	=	High Purity grade
Hz	=	Hertz
IEC	=	International Electrotechnical Commission
kpa	=	Kilopascal
kV	=	Kilovolts
kVrms	=	Kilovolts root mean square
mm	=	Millimeter
MPa	=	Megapascal
N ₂	=	Nitrogen
N ₂ O	=	Nitrous Oxide
O ₂	=	Oxygen
pF	=	Picrofarad
SF ₆	=	Sulphurhexafluoride
V/cm	=	Volt Per Centimeter

W = Tungsten
°C = Degree Celsius
 Ω = Ohm